

V-136 RC版の耐力について

北海道大学 正員 ○角田与史雄
高田宣之
奈良久

1. まえがき

近年わが国にあってもコンクリート構造物の設計に限界状態設計法の手法を採用しつつあるが、RC版のよろ内的に複雑な耐荷性状をもつ部材においては、今後さらに解決していかなければならない点が多くある。本研究は、RC版の静的および疲労耐力について実験的に検討を行なった主な結果についてまとめたものである。

2. 静的曲げ耐力について

RC版の静的曲げ耐力の算定またはそれに基づく塑性設計法としては、降伏線理論、松浦式の降伏線理論、下界理論などがある。ここでは主として降伏線理論について調べるために、表-1に示す4枚の模型版の実験を行なった。いずれも版厚10cmの正方形版で、S151と153は図-1(a)、S152と154は(b)に示すメカニズムを目標とし、前者は一様配筋、後者は版中央部の鉄筋比を周辺部の2倍にした。載荷は2軸斜め位置の12点荷重によって行ない、各荷重点とも水平方向拘束をなくするために球ローラーとした。4辺は浮上り自由の単純支持である。表-1に最大ひびわれ幅が2mmに達したときの荷重 P_{c2} および最大荷重 P_{max} を示す。ひびわれ幅は図-2にその一例を示すように、鉄筋比の段差をつけたものではその位置にかなり大きい値が現われて構造上の欠陥を示したが、普通の版では使用応力状態で十分に小さい値しか生じなかった。同様に良好なひびわれ性状は次項に述べる一点載荷試験においても確認された。 P_{max} はいずれも過大な塑性化のためにによって達成され、目標通りのメカニズムがほぼ得られた。このときの降伏線

表-1

No.	スパン (cm)	鉄筋比 (%)	P_{c2} (t)	P_{max} (t)	P_{YL} (t)	$\frac{P_{max}}{P_{YL}}$	
S151	100	0.9	18	40.0	32.3	1.24	
S152	"	0.9	0.45	9	24.9	19.1	1.30
S153	200	0.9	18	28.0	28.4	0.99	
S154	"	0.9	0.45	>11	18.5	15.7	1.18

理論による計算値 P_{c2} は表-1に示すとおりであり、スパン/版厚比の小さい方が付加耐力が大きくなっているほか、(b)のメカニズムの方がいくぶん大きい付加耐力を示し、版中央部の非降伏領域による面内変形拘束の影響が現われている。なお、荷重を線荷重とみなしたときの下界ストリップ法の計算値も実験値と比較的良好一致を示した。

3. 拾抜せん断耐力について

集中荷重を受けるRC版の主要な破壊形式の一つに拾抜せん断破壊がある。普通コンクリートを利用した単純支持版の拾抜せん断耐力について、著者らをはじめ、Elstner, Moe, Yatzhaki その他による既往の実験データ113個の統計的解析によって各種要因の影響について調べた。その結果、データと最も良い相關性をもつ耐力算定式として次式を得た(b: 載荷周縁の長さ, γ : 平均鉄筋比)。

$\gamma b_y / \sqrt{\sigma_{cb}} \leq 3.33$ に対して

$$P = 0.674(b_y + 3\pi d)d(\sqrt{\sigma_{cb}} + 0.5\gamma b_y)/(1 + d/20\text{cm})$$

$\gamma b_y / \sqrt{\sigma_{cb}} > 3.33$ に対して

$$P = 1.796(b_y + 3\pi d)d\sqrt{\sigma_{cb}}/(1 + d/20\text{cm})$$

図-3は著者らの実験データ59個に対する実験値/計算値の比の度数分布を示したものである。また、図-4はすべてのデータに対してその分布状況を正規確率紙上に描いたもので、 $\gamma b_y / \sqrt{\sigma_{cb}}$ の2つの範囲では

図-1

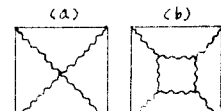
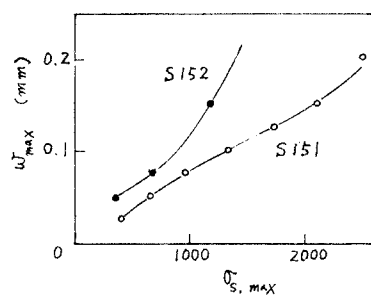


図-2



らつきの大きさは異なるが、ともにほぼ正規分布に従っていることがわかる。なお、実験値/計算値の比の変動係数は、 $\sqrt{\sigma_{\text{rel}}^2} \leq 3.33$ に対して 10.0%， > 3.33 に対して 12.8% であった。

4. 疲労耐力について

R.C 版の疲労破壊型式を大別すれば、曲げ疲労と押抜きせん断疲労とからなる。前者は一般に鉄筋の疲労破断によって生ずると考えることができ、降伏線型の静的曲げ破壊とは不連続の現象であるが、その耐力は鉄筋の S-N 曲線と版の断面力の解析によって容易に指定できると考えられるので、ここでは主として疲労押抜きせん断耐力について調べた。実験を行なった供試体は表-2 に示す 4 種からなる。IV～VI は 4 辺支持の正方形版で直径 10 cm の円形載荷、VII 種は一方向版で辺長 10 cm の正方形載荷である。得られた S-N 曲線から上限荷重/静的耐力比に対する 200 万回強度の推定を行なった結果、VII 種が 0.4、IV 種が 0.65、V 種が 0.35 であり、疲労耐力に対して鉄筋比が非常に大きな影響をもつてていること、および過大な鉄筋比は必ずしも有効ではないことが示された。VII 種供試体は疲労寿命のはらつきについても調べるため、39 枚について定荷重繰り返し試験を行なった。その結果は図-5 に示すとおりである。上限荷重/静的耐力比 R と破壊回数 N の関係について検討した結果、R と $\log N$ の直線関係が比較的良好な相関性を示した。図中の(1)線はすべてのデータに対する直線、(2)は R が 0.6 以上のデータに対する直線関係を示したものである。 $\log N$ のばらつきは R の大きいかぎりに分大さい傾向を示したが、特定の荷重レベル VI についてみれば N が少數正規分布に近い変動をもつとみなしうることがわかった。図-6 はすべてのデータについて $\log N$ の実測値の、(2)線からの偏差に対して正規確率紙上に描いたものである。また、その標準偏差は 0.55、同様に(1)線からの偏差に対して 0.52 であった。次に、異なる荷重レベル VI の組合せを受ける際の疲労累積損傷について調べるために、VII 種供試体 6 枚について $R = 0.7, 0.6, 0.8$ および 0.85 を順次かけたときの疲労破壊実験を行なった。これより破壊時の累積損傷を Miner 法則により $D = \sum (m_i / N_i)$ 、ここで m_i は実測回数、 N_i は定荷重繰り返し下の疲労寿命を求めた結果、D は 0.14 ～ 5.88 の間に分布し、 $\log D$ の平均値は 0.018、これに対する D 値は 1.04 であって Miner の仮説の 1.0 にほぼ等しく、また、 $\log D$ の標準偏差は 0.52 であって上記の定荷重疲労試験において得られた $\log N$ の偏差のはらつきとほぼ同等な結果が得られ、Miner 法則がそれ自身の不確定性を考慮する必要なくほぼ適用しうることがわかった。

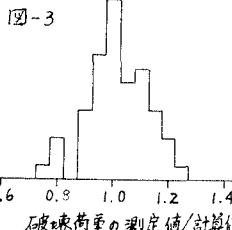


図-3

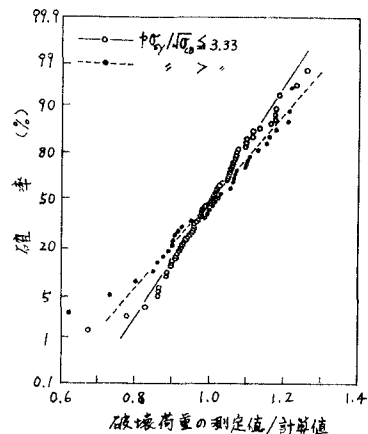


図-4

種別	スパン (cm)	版厚 (cm)	鉄筋径 (mm)	鉄筋比 (%)	
				主	配
IV	100	15	10	0.931	
V	"	"	16	2.107	
VI	"	"	10	0.466	
VII	"	10	"	0.988	0.678

表-2

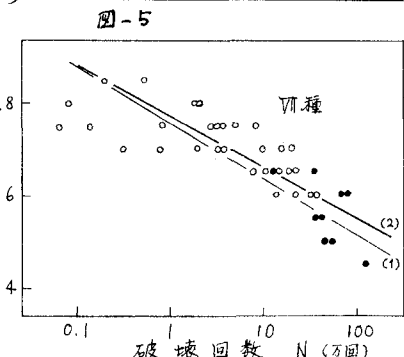


図-5

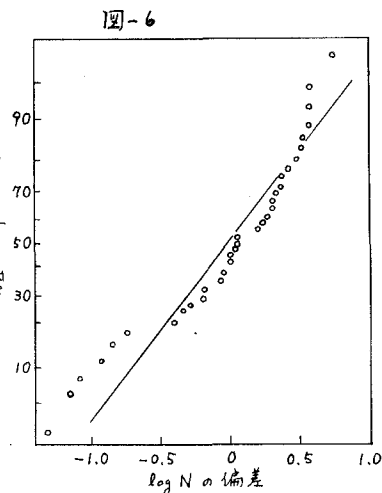


図-6